

구조적 불확실성을 갖는 프로세스의 Robust Control
(Robust Control for Linear Systems with Structured Uncertainty)

○ 김 영 철*, 박 용 식**, 양 흥 석***
(Y. C. Kim, Y. S. Park, H. S. Yang)

* 충북대 전자공학과(Chungbuk Natl Univ., Dept. of Electronics)
** 명지대 전기공학과(Myongji Univ., Dept. of Elec.Eng.)
*** 서울대 전기공학과(Seoul Natl Univ., Dept. of Elec.Eng.)

Abstract:

This note considers the problems of finding a pole assignment controller for a plant with parameter perturbations. Based on Kharitonov's theorem and its generalized results, we propose a design method of controller using linear transformations such that it guarantees the desired damping ratio.

1. 서 론

본 논문은 전달함수의 계수가 한정된 범위내에서 섭동(perturbation)을 갖는 선형 시불변 시스템의 강인한 제어기(robust controller) 구성에 관한 것이다. 이러한 제어대상의 특성다항식은 다음 식으로 표현될 수 있다.

$$P(s, q) \triangleq \sum_{i=0}^n a_i(q) s^i \quad (1)$$

여기서, $q^T = [q_1, q_2, \dots, q_k]$ 는 불확정 매개변수로서 Box Q내에서 변화한다.

$$Q = \{q \mid q_i^- \leq q_i \leq q_i^+, i=1, 2, \dots, k\} \quad (2)$$

(1), (2)로서 표현되는 다항식군(a family of polynomial)을 다시 쓰면,

$$P \triangleq \{p(\cdot, q) \mid q \in Q\} \quad (3)$$

그리고 P의 모든 근이 복소평면에 미리 설정해 준 영역 D내에 존재하면, 시스템은 D-안정(D-stable)이라고 부르기로 한다.(D는 LHP, 단위원 또는, 임의의 영역으로 설정됨). p(s, q)의 각 계수 a_i 가 독립적으로 섭동을 갖는 경우에는 매개변수공간에서 (n+1)차원 hyperrectangle로 나타나며, P를 interval polynomial family라 한다. Kharitonov[1]는 이러한 interval polynomial 문제에 대해 D가 복소평면의 좌측반평면(LHP)일 때, 2개의 극점(extreme point 또는 vertex)중 단지 4개의 극점을 나타내는 소위 Kharitonov polynomials의 Hurwitz 안정이 P의 D-안정이라는 획기적인 결과를 발표하였다. Barmish[2]에 의해 제어문제에 적용 소개되면서 robust stability 연구에 많은 진전을 보였다. Bartlett등[3,6]은 (1)의 각계수가 q에 대해 선형종속관계로 주어지는 polynomial family에 대해 2^k 로 주어지는 극점간 exposed edges가 안정이면 P가 D-안정(D는 임의의 단순영역)이라는 소위 "Edge 정리"를 발표하여 Kharitonov

정리의 일반화에 크게 기여하였다.

이러한 일반화에 대한 연구는 주로 이산치계로 확장문제와, 안정도 검증 계산량의 감소, 안정영역 D 설정조건외의 완화에 두고 있으며 Barmish[4]와 Bhattacharyya 등[5]의 결과가 주목된다. 특히 Barmish[4]는 종래의 Edge정리에 근거하는 λ -sweeping과 달리 boundary sweeping에 의해 실연속스칼라함수로 표현되는 안정도 검증함수를 제시하여 실제 적용에 매우 효과적임을 보였다. 그런데 대부분 연구가 주어진 제어기에 대해 P가 D-안정인지를 판별하는 것으로서, 만일 플랜트 계수의 공칭치(nominal value)에 대해 설계된 제어기가 D-불안정일때 이를 처리할 수 있는 기법의 연구가 요구된다. 본 논문에서는 제동특성을 고려한 강인한 극지정 제어기 구성에 관하여 기술하였다.

2. 정의

정의 2.1: (Interval polynomials) - 식(1), (2)에서

$$q = [q_0, q_1, \dots, q_n]^T \in R^{n+1}$$

$$a_i(q) = q_i, i = 0, 1, 2, \dots, n$$

$$Q = \{q \mid q_i^- \leq q_i \leq q_i^+, i = 0, 1, \dots, n\}$$

이면, 다음식(4)의 다항식을 Interval Polynomial이라 한다

$$P(s, q) = \sum_{i=0}^n q_i s^i \quad (4)$$

정의 2.2: (Polytopes of polynomials) - m개의 vertex를 나타내는 다항식의 convex hull을 polynomial polytope이라 한다. 즉,

$$P = \{p(s) = \sum_{i=1}^m \lambda_i p_i(s) \mid \lambda_i \in [0, 1], \sum_{i=1}^m \lambda_i = 1\} \quad (5)$$

여기서 $p_i(s)$ 는 polytope P의 vertex이다.

정의 2.3: (Vertices of polytope) - (1), (2)에 대해서 P는 많아야 2^k 개의 극점을 가지며, i번째 극점은 다음식(6)으로 표현한다.

$$q^i = [q_1^i, q_2^i, \dots, q_k^i]^T$$

여기서, $q_j^{-1} = q_j^{-}$ 또는 q_j^{+} , $j = 1, 2, \dots, k$

$$P_1(s) = \sum_{j=1}^n a_j(q^j) s^j \quad (6)$$

정의 2.4: (Linear Transformations)

$$T_1(s) : C^* \rightarrow C^*, (C^* \equiv C \cup \{\infty\})$$

$$w = T_1(s) = e^{j\phi} s \quad (0 < \phi < 90) \quad (7)$$

$$S = e^{-j\phi} w \quad (8)$$

$P(s)$ 가 <그림1>의 빗금친 섹터내에 모든근이 존재하는 것은 $P(e^{-j\phi} w)$ 의 모든 근이 LHP내에 놓이는 것에 대응한다.

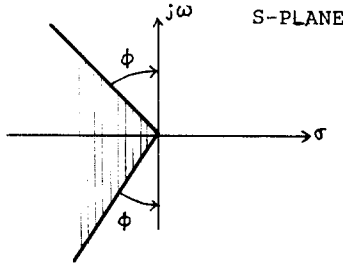


그림1. 감쇠율 ϕ 로 정의된 섹터

정의 2.5: Hurwitz Testing Matrix

복소수 계수를 갖는 다항식에 대한 Hurwitz검증행렬 $H_w(p)$ 는 다음과 같다.

$$P_w(s) = \sum_{k=0}^n (a_k + jb_k) s^{n-k} \quad (단, a_0 \neq 0, a_k, b_k \in \mathbb{R}) \quad (9)$$

$$H_w(p) = \begin{bmatrix} b_0 & b_1 & \dots & b_n & 0 & \dots & 0 \\ a_0 & a_1 & \dots & a_n & 0 & \dots & 0 \\ 0 & b_0 & \dots & b_{n-1} & b_n & \dots & 0 \\ 0 & a_0 & \dots & a_{n-1} & a_n & \dots & 0 \\ & & & & & & \dots & a_n \end{bmatrix} \quad (10)$$

정의 2.6: Kharitonov polynomials

식(4)의 interval polynomial에서, 2^{n+1} 개의 vertex를 나타내는 다항식군 \mathcal{P} 의 실수부와 허수부는 다음 4개의 다항식의 그것내에 bound된다. 이 4개의 vertex를 Kharitonov 다항식이라 한다.

$$\begin{aligned} K_1(s) &= q_0^- + q_1^- s + q_2^+ s^2 + q_3^+ s^3 + q_4^- s^4 + \dots \\ K_2(s) &= q_0^+ + q_1^+ s + q_2^- s^2 + q_3^- s^3 + q_4^+ s^4 + \dots \\ K_3(s) &= q_0^+ + q_1^- s + q_2^- s^2 + q_3^+ s^3 + q_4^+ s^4 + \dots \\ K_4(s) &= q_0^- + q_1^+ s + q_2^+ s^2 + q_3^- s^3 + q_4^- s^4 + \dots \end{aligned} \quad (11)$$

3. 감쇠율을 고려한 강인한 극 배치 제어기의 구성

(1) 문제의 설정

<그림2>와 같은 단 입출력(SISO) 피드백 시스템에서, 플랜트는 매개변수 섭동을 가지며 제어기 $C(s)$ 는 극배치 방식인 경우를 고려한다.

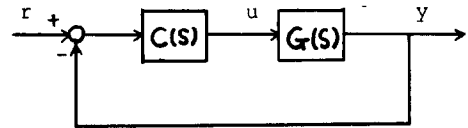


그림2. 피드 백 시스템

플랜트 전달함수 $G(s)$ 는

$$G(s) = \frac{B(s)}{A(s)} = \frac{\beta_m s^m + \beta_{m-1} s^{m-1} + \dots + \beta_0}{\alpha_n s^n + \alpha_{n-1} s^{n-1} + \dots + \alpha_0} \quad (12)$$

여기서 $\beta_i \in [\beta_i^-, \beta_i^+]$, $i = 0, 1, \dots, m$

$$\alpha_j \in [\alpha_j^-, \alpha_j^+], \quad j = 0, 1, \dots, n \quad (13)$$

이때 A, B는 (13)의 조건하에서도 coprime이라 가정한다.

제어기 전달함수 $C(s)$ 는

$$C(s) = \frac{N(s)}{D(s)} = \frac{n_p s^p + n_{p-1} s^{p-1} + \dots + n_0}{d_1 s^1 + d_{1-1} s^{1-1} + \dots + d_0} \quad (14)$$

($l=m-1, p=n-1$)

특성방정식 $\Delta(s)$ 는

$$\Delta(s) = A(s) D(s) + B(s) N(s) \quad (15)$$

안정영역 D를 그림1에서와 같이 감쇠율을 고려한 섹터내부로 정의하였을때, 문제는 (12), (13)로 표현되는 플랜트에 대해 D-안정이 보장되는 제어기 $C(s)$ 를 결정하는데 있다. 이것은 $\Delta(s)$ 의 모든근이 (13)의 섹터내에도 불구하고 요구되는 감쇠 특성을 가짐을 의미한다.

$\Delta(s)$ 를 다항식으로 표현하면

$$\Delta(s) = \delta_{\bar{n}} s^{\bar{n}} + \delta_{\bar{n}-1} s^{\bar{n}-1} + \dots + \delta_0$$

($\bar{n} = n + m - 1$)

(12)의 α_i, β_i 는 (2)의 q_i 에 대응하며, 다시쓰면

$$q = [\alpha_1 \alpha_2 \dots \alpha_n \beta_1 \beta_2 \dots \beta_m]^T$$

(16)의 δ_i 는 q 에 1차 종속관계에 있다. 따라서 $\Delta(s)$ 는 정의 2.2 와 정의 2.3에 의해 2^k 개 (여기서, $k = n + m$)이내의 vertex를 가지는 poltope이 된다.

(2) 예비 결과

복소계수를 갖는 interval polynomial의 안정도 조건을 정리해 본다.

$$P_w(s) = \sum_{k=0}^n (a_k + jb_k) s^k \quad (a_0 + jb_0 \neq 0) \quad (18)$$

$$a_k \in [a_k^-, a_k^+], \quad b_k \in [b_k^-, b_k^+] \quad (19)$$

여기서 (18), (19)로 표현되는 n 차 다항식의 집합을 P_w^n 이라 하고, strictly Hurwitz인 n 차 다항식의 집합을 H^n 이라 정의한다. 또한,

$$F_{i,j}(s) = M_i(s) + jL_j(s), \quad i, j = 1, 2, 3, 4, \quad (20)$$

여기서, M_i ($i = 1, 2, 3, 4$)는 각각 Kharitonov 다항식 (11)의 q_i 대신 a_i 로 대치한 것이며 L_j ($j = 1, 2, 3, 4$)는 q_i 대신 b_i 로 대치한 다항식이다.

정리 3.1[8,9]: $P_w^n \subset H^n$ 이기 위한 필요충분 조건은 다음 8 개의 vertex 다항식 $F_{1,3}(S), F_{1,4}(S), F_{2,3}(S), F_{2,4}(S), F_{3,1}(S), F_{3,2}(S), F_{4,1}(S), F_{4,2}(S)$ 가 H^n 에 속하는 것이다.

(3) 감쇠율을 고려한 강인한 극배치 제어기

플랜트 매개변수의 공칭치를 각각 $\bar{\alpha}_1, \bar{\beta}_1$ 라 하고 페루프 동특성을 고려하여 D영역내에 모든 근이 존재하는 다항식을 $T(s)$ 라 한다.

$$T(s) = t_0 + t_1s + \dots + t_r s^r \quad (21)$$

식(15)로부터

$$\bar{A}(s) D(s) + \bar{B}(s) X(s) = T(s) \quad (22)$$

여기서, $\bar{A}(s), \bar{B}(s)$ 는 공칭계수 $\bar{\alpha}_1, \bar{\beta}_1$ 로 표현되는 다항식이다. $T(s)$ 의 차수 $r = \bar{n} = n + m - 1$ 로 한다. (22)를 벡터-행렬 형태로 다시 쓰면,

$$\begin{bmatrix} \bar{\alpha}_0 & 0 & \dots & 0 & \bar{\beta}_0 & 0 & \dots & 0 \\ \bar{\alpha}_1 & \bar{\alpha}_0 & & & \bar{\beta}_1 & \bar{\beta}_0 & & 0 \\ \bar{\alpha}_2 & \bar{\alpha}_1 & \bar{\alpha}_0 & \dots & \bar{\beta}_2 & \bar{\beta}_1 & \bar{\beta}_0 & \dots \\ \vdots & \vdots & \vdots & \vdots & \vdots & \vdots & \vdots & \vdots \\ \bar{\alpha}_n & & & & \bar{\beta}_m & & & \\ \vdots & & & & \vdots & & & \\ \vdots & & & & \vdots & & & \\ \vdots & & & & \vdots & & & \\ 0 & \dots & 0 & \bar{\alpha}_n & 0 & \dots & \bar{\beta}_m & \end{bmatrix} \begin{bmatrix} d_0 \\ d_1 \\ \vdots \\ d_1 \\ \vdots \\ n_0 \\ n_1 \\ d_3 \\ \vdots \\ n_p \end{bmatrix} = \begin{bmatrix} t_0 \\ t_1 \\ \vdots \\ \vdots \\ \vdots \\ \vdots \\ \vdots \\ t_r \end{bmatrix} \quad (23)$$

$$\bar{S}X = Y \quad (24)$$

\bar{S} 는 $(n+m) \times (n+m)$ Sylvester 행렬이고 X 는 제어기 계수이다. <3.1>절의 coprime 가정에 의해 \bar{S} 는 nonsingular 이므로 (24)의 해 X 는 유일하게 존재하며 섭동이 없으면 페루프근을 $T(s)$ 의 근으로 지정한다. 문제는 (13)의 섭동으로 X 에 대한 특성 다항식 $\Delta(s)$ 의 근이 D 영역 밖으로 나가는 경우이다. 이제 특성근이 D 영역내에 존재하도록 X 를 결정하는 간단한 방법을 제시한다. 선형사상 $T_2(s)$ 를 정의하면

$$\begin{aligned} v &= T_2(s) \hat{= s - \sigma, \quad (v \in \mathbb{C}, \sigma \in \mathbb{R}) \quad (25) \\ s &= v + \sigma \quad (26) \end{aligned}$$

$T_2(s)$ 는 처음에 지정해준 $T(s)$ 의 근을 σ 의 부호에 따라서 좌우로 평행 이동 시키기 위해 사용된다.

$$\begin{aligned} T(v) &\hat{=} T(s=v+\sigma) = \eta_0 + \eta_1 v + \eta_2 v^2 + \dots + \eta_r v^r \quad (27) \\ Y_v &= [\eta_0 \ \eta_1 \ \eta_2 \ \dots \ \eta_r]^T \quad (28) \\ X_v &= \bar{S}^{-1} Y_v \quad (29) \end{aligned}$$

식(16), (17)로 표현되는 \bar{n} 차 다항식근을 $\bar{P}_2^{\bar{n}}$ 라 하고, D 영역내에 근이 존재하는 \bar{n} 차 다항식근을 $H_{\bar{P}_2^{\bar{n}}}$ 라 정의한다.

부조정리 3.2: $T(s)$ 가 D내에 근이 존재하는 다항식 이면 (27), (28)조건하에서 $\bar{P}_2^{\bar{n}} \subset H_{\bar{P}_2^{\bar{n}}}$ 인 유한 크기의 σ 가 존재한다.

증명: 다항식 $P(s) = \sum_{i=0}^n a_i s^i$ 의 근은 다음 반경의 원내에 존재한다.

$$r = 1 + \max \{ |a_i/a_n| ; i = 0, 1, \dots, n-1 \} \quad (30)$$

식(13)의 유한 구간내 섭동을 갖는 경우에 $\Delta(s)$ 의 근의 공간 (root space)도 유한하다. 그리고 선형사상

$T_2(s)$ 는 복소평면에서 공칭치에 대한 근의 위치를 D의 경계로부터 무한히 멀리 놓을 수 있다. 따라서 $\bar{P}_2^{\bar{n}} \subset H_{\bar{P}_2^{\bar{n}}}$ 인 σ 가 존재한다. ***

X_v 가 주어질때 polytope $\bar{P}_2^{\bar{n}}(s)$ 의 Kharitonov 다항식을 $R_1(s), R_2(s), R_3(s), R_4(s)$ 라 하고, <정의 2.4>의 $T_1(s)$ 에 의해 선형변환된 다항식을 각각 $R_{T1}(w), R_{T2}(w), R_{T3}(w), R_{T4}(w)$ 라 정의한다.

$$R_i(s) = \sum_{k=0}^{\bar{n}} r_{ik} \cdot s^k, \quad i = 1, 2, 3, 4 \quad (31)$$

여기서 $r_{ik} = \delta_k^-$ 또는 δ_k^+

$$\begin{aligned} R_{T1}(w) &= R_1(s = e^{-j\phi} w) \\ &= \sum_{k=0}^{\bar{n}} r_{ik} \cdot e^{jk\phi} \cdot w^k \\ &= \sum_{k=0}^{\bar{n}} (r_{ik} \cdot \cos k\phi + jr_{ik} \cdot \sin k\phi) \cdot w^k, \\ &\quad i = 1, 2, 3, 4 \quad (32) \end{aligned}$$

정리 3.3: 4 개의 변환 다항식

$R_{Ti}(w)$ ($i = 1, 2, 3, 4$)가 Hurwitz 다항식이면 $\bar{P}_2^{\bar{n}} \subset H_{\bar{P}_2^{\bar{n}}}$ 이다.

증명: Kharitonov 다항식이 Hurwitz 이면 interval polynomial family 의

Hurwitz 에 대해 필요충분 조건이지만, polytope 문제에서는 단지 충분조건이 된다 [3,4,5]. 그리고 $T_1(s)$ 는 1:1 변환이므로 식(32)가 <정리 3.2>에 의해 polytope family $\bar{P}_2^{\bar{n}}$ 의 모든 근은 설정된 섹터 내부에 존재한다.

이때 (32)에서,

$$a_k = r_{1k} \cdot \cos k\phi, \quad a_k^- = a_k^+ = a_k \quad (35)$$

$$b_k = r_{1k} \cdot \sin k\phi, \quad b_k^- = b_k^+ = b_k$$

로 놓으면 (18), (19)의 형태가 되며, Hurwitz 행렬은 식(10)과 같다. ***

이상의 결과로부터 원하는 감쇠특성을 갖는 극배치제어기 설계과정을 정리해 본다.

먼저 플랜트 매개 변수의 공칭치로 구성되는 역 Sylvester 행렬 \bar{S}^{-1} 를 계산한다.

이것은 반복계산에서 항상 이용하게 된다.

원하는 제동특성을 갖도록 ϕ 를 설정하고

이섹터 내부를 D 영역으로 한다. 페루프 동특성을 고려한 D 내의 특성근에 대응하는 다항식 $T(s)$ 를 정한다.
주어진 $\bar{\sigma}^{-1}$ 와 γ 로부터 최초의 제어기 계수 \bar{X} 를 구한다. \bar{X} 에대한 $\Delta(s)$ 로부터 R_1, R_{T1} 를 계산한다. R_{T1} 가 <정리 3.1> 을 만족하는지 검증 하여 안정이면 멈추고, 불안정이면 σ ($\sigma > 0$) 를 증가시켜 $T(s)$ 의 근을 좌측으로 이동시키며 이과정을 반복한다.
만약 초기 설정치 $T(s)$ 가 안정일때 불안정 한계를 구하려면 $\sigma < 0$ 에 대해 반복한다.

4. 결론

구조적 불확실성을 갖는 선형 시불변 시스템의 강인한 극배치 제어기 구성에 관한 방법을 제시 하였다. Kharitonov 정리와 이를 확장시킨 결과들을 근거로 선형변환을 적용하여 요구되는 제동특성을 갖도록 설계될 수 있음을 보였다. 이 방식은 한 개의 변수로 처리되고 설계과정이 간단하다.

또한 결정된 제어기의 D-안정에대한 상대적 한계를 구하는데도 유용하리라고 생각된다.

* 참고 문헌

1. V.L.Kharitonov, "Asymptotic stability of an equilibrium position of a family of systems of linear differential equations" *Differentsial'nye Uye Uravneniya*, vol.14, NO.11, p 2086-2088, 1978
2. B.R.Barmish, "Invariance of the strict Hurwitz property for polynomials with perturbed coefficients," *IEEE, AC-29*, p 935-936, 1984
3. A.C.Bartlett, et al.2, "Root locations of an entire polytape of polynomials: it suffices to check the edge," in *Proc.A.C.C.*, Minneapolis, 1987
4. B.R.Barmish, "A generalization of Kharitonov's four-polynomials concept for robust stability problems with linearly dep-

- endent coefficient perturbations," *IEEE, AC-34*, No.2, p157-165, 1989
5. H.Chapellat, S.P.Bhattacharyya, "A generalization of Kharitonov's theorem: Robust stability of interval plants," *IEEE, AC-34*, No.3, p 306-311, 1989
6. A.C.Bartlett et al.1, "A necessary and sufficient condition for Schur invariance and generalized atability of polytopes of polynomials," *IEEE, AC-33*, No.6, p 575-578, 1988
7. C.B.Soh et al.1, "Damping Ratio of Polynomials with Peturbed Coefficients," *IEEE, Vol.AC-33*, No.12, p 1180-1182, 1988.
8. V.L.Kharitonov, "On a generalization of a stability criterion," *Izv.Akad.Nauk.Kazakh. SSR Ser Fiz. Mat.*, Vol.1, p 53-57, 1978
9. N.K.Bose et al.1, "A Simple General proof of Kharitonov's Generalized Stability Criterion," *IEEE, Vol. CAS-34*, NO.8, P 1233-1237, 1987